## 补充材料

## 《基于视觉变换器的高精度光子晶体能带预测》

陈冠桦<sup>1)</sup> 姚俊驰<sup>1)</sup> 朱惠芳<sup>2)</sup> 智婷<sup>2)</sup> 汪金<sup>2)</sup> 薛俊俊<sup>2)</sup> 陈琳<sup>2)</sup> 陶志阔<sup>2)†</sup>

- 1) (南京邮电大学通信与信息工程学院,南京 210003)
- 2) (南京邮电大学电子与光学工程学院、柔性电子(未来技术)学院, 南京 210003)
  - 3) (南京大学电子科学与工程学院,南京 210023)

为给模型提供更丰富的物理特征,我们尝试改变介质柱的介电常数,通过灰度值来表示介质柱的折射率。生成了450组数据用于训练,30组数据用于测试,以确保模型的性能和泛化能力。

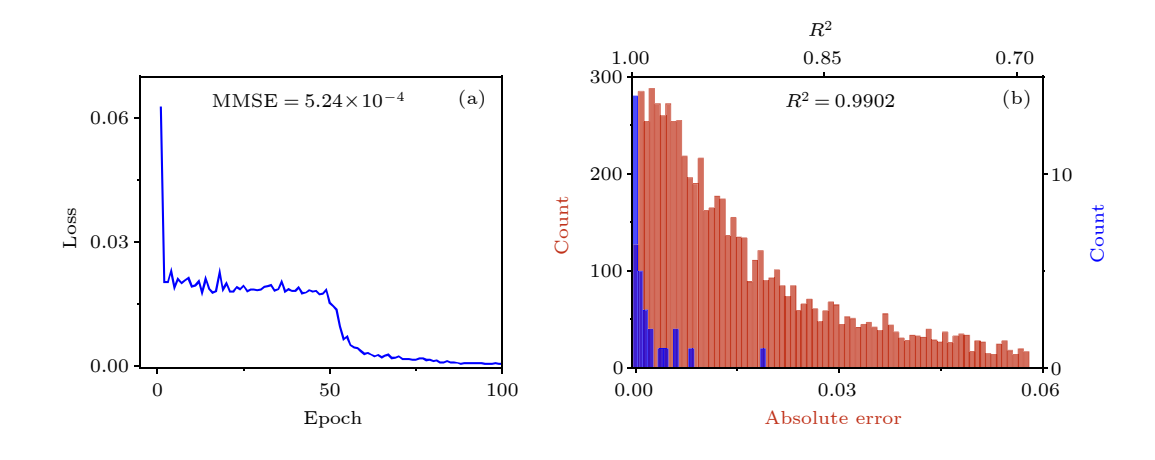


图 S1 (a) ViT 模型随训练迭代的损失收敛; (b)使用 ViT 预测频率与模拟频率的绝对误差分布以及  $\mathbb{R}^2$  值的分布

Fig. S1. (a) ViT model's loss convergence over training epochs; (b) distribution of absolute errors between predicted and simulated frequencies using ViT, along with the distribution of  $R^2$  values.

图 S1 展示了 ViT 模型在预测光子晶体能带结构上的性能。图 S1(a)显示了模型损失随训练迭代次数的下降趋势,最终损失值 MMSE =  $5.24 \times 10^{-4}$  表明模型拟合良好。图 S1(b)中,预测频率与模拟频率的绝对误差大多较小,且  $R^2$  值平均为 0.9902,显示了模型的高预测精度和良好的泛化能力。这些结果表明,在

考虑介质柱介电常数等更多参数时,ViT 模型在光子晶体能带结构预测任务上效率和准确性都很高。

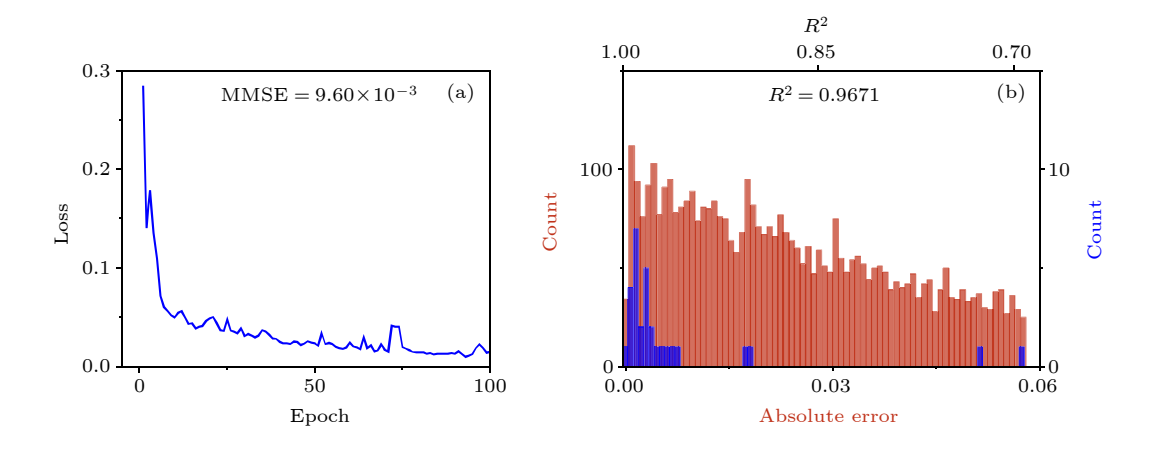


图 S2 (a) ViT 模型随训练迭代的损失收敛; (b)使用 ViT 预测群速度与模拟群速度的绝对误差分布以及  $R^2$  值的分布

Fig. S2. (a) ViT model's loss convergence over training epochs; (b) distribution of absolute errors between predicted and simulated group velocity using ViT, along with the distribution of  $R^2$  values.

群速度预测方面,我们生成了 450 组数据用于训练,30 组数据用于预测。图 S2 展示了 ViT 模型在训练过程中的损失收敛情况以及预测结果的分析,其中图 S2(a)显示了模型损失随训练轮次的减少而快速下降并趋于稳定,表明模型训练效果良好且具有良好的收敛性,MMSE 为  $9.60 \times 10^{-3}$ ,而图 S2(b)则展示了预测值与模拟值之间的绝对误差分布以及  $R^2$  值的分布,大部分绝对误差集中在较小范围内,且  $R^2$  值为 0.9671,展示较好预测精度。